# 2010年パキスタン洪水をもたらした豪雨のダウンスケーリング再現実験

牛山朋來・Rana Muhammad Atif・佐山敬洋・建部祐哉・藤岡奨・深見和彦(土木研究所)

## 1. はじめに

2010 年 7 月末パキスタン北部を襲った豪雨により、インダス川流域では史上最悪の洪水被害に見舞われた。流域全体での死者は1700 人以上、1800 万人が被害を被った。洪水は最初パキスタン北西部の Kyber Pakhtunkhwa (KPK)県で急激増水として発生、続いてインダス川を南下することにより中下流の広域で洪水を引き起こし、家屋・作物・家畜に大きな被害を出した。KPK 県における豪雨は、カブール川流域で急激増水を引き起こし、流域底部平坦地のペシャワール盆地では大規模な洪水をもたらした。ペシャワールでは年降水量(346 mm)の80%が7月29日の1日で降り、ここだけで1156人の死者を出した。

このような歴史的被害を出したのは、夏季モンスーン降水が通常パキスタン北部の東側で降るのに対し、この年は西側で降ったためである。その原因として、ヨーロッパ東部でブロッキング高気圧が居座り、その東側で深い気圧の谷が維持されたことが指摘されている。この気圧の谷に沿って対流圏上層で高渦位が南へ移流するのに同期して、7月末のパキスタン北部豪雨があったことが指摘されている(Hong et al., 2011; Lau and Kim, 2012)。

このような洪水範囲の把握のため、降雨流出洪水(Rainfall Runoff Inundation, RRI)モデルの開発が進められ、雨量分布を与えることにより精度の高い洪水範囲の予測が可能になりつつある(Sayama et al., 2012)。しかし、パキスタンでは雨量計の数が限られているため、GSMaP (The Global Satellite Mapping of Precipitation, Okamoto et al., 2005)のような衛星雨量観測に頼らなければならない。しかしながら、衛星雨量は値の信頼性や観測間隔などの点に問題点がある。一方、カブール川流域のような急激増水では、降雨後 1~2 日後に洪水が発生するため、降雨後に避難などの洪水対策をとっても間に合わないといった問題がある。そこで、数値予

報と RRI モデルを組み合わせた洪水予測が 求められる。このような洪水予測は日本では まだ行われていないが、世界の趨勢である (Cloke and Pappenberger, 2009)。

Webster et al.(2011)は、ECMWF EPS を用いた降雨確率分布解析から、パキスタン北部の洪水をもたらした豪雨は 6~8 目前から予測可能だったと主張している。この豪雨が東ヨーロッパのブロッキング高気圧と密接な関係があり(Hong et al., 2011; Lau and Kim, 2012)、ブロッキング高気圧の発達がいくつかの全球 EPS によって 9 目前から予測できていたこと(Matsueta 2011)と合わせると、十分実現可能な仮説である。

そこで本研究では、上記仮説の真偽を確かめるため、全球予報と RRI モデルを組み合わせた洪水予測実験を行った。全球予報は NCEP GFS の決定論的予報を用いたが、様々な初期時刻の予報ランを用いてタイムラグアンサンブルを構成した。さらに、全球予報を領域モデル WRF によりダウンスケールした場合の効果も調べた。これらの予報降水量分布を RRI モデルに入力し、洪水予測計算を行った。それらの結果を衛星雨量を用いた計算結果と比較し、検討を行った。

### 2. 方法

実験対象は、2010年7月27日0時~7月30日0時までに降った雨により発生した、インダス川上流のカブール川流域の洪水である。NCEP GFS は7.5日先までの予報が提供されているため、7月30日12時までをカバーする23日00UTC~28日00UTCを初期値とする予報ランを用いた。GFSは1日4回の予報を行っているため、全部で21個のランが対象となる。

WRF によるダウンスケーリングの計算領域は、モンスーンの影響を表現できる領域として、パキスタンを中心とする東西 4000km×南北 3000km、水平解像度 20km とした。また、カブール川周辺の降雨予測精度向上のため2重ネステイングを行い、東西 1245 km

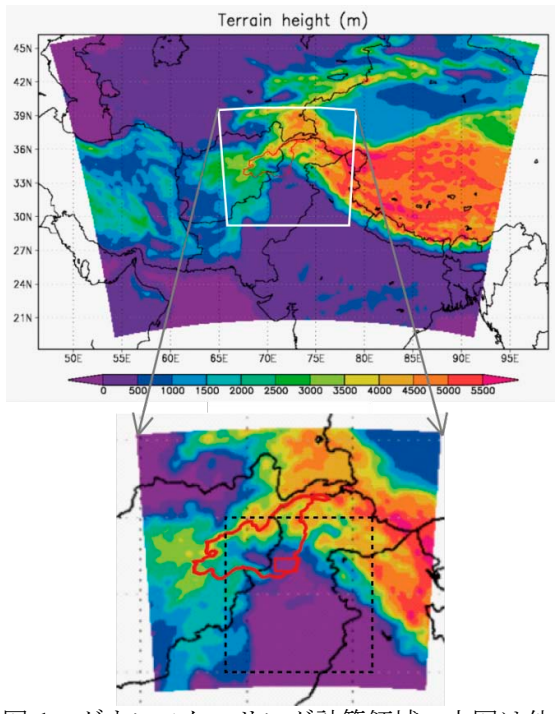


図1: ダウンスケーリング計算領域。上図は外側フレーム、下図は内側フレームを表わす。下図の黒破線四角はパキスタン北部解析領域(北緯30-36°、東経69-76°、Webster et al., 2011と同じ)、赤い閉曲線はカブール川流域、赤小四角はペシャワール盆地である。

×南北 1125km、水平解像度 5km を内側フレームとした(図 1)。両者とも Kain-Fritschの積雲対流パラメタリゼーションを用いた。領域内の地形および土地利用分布は USGSのものを用いた。

検証のため用いた衛星雨量は GSMaP (0.1° × 0.1°, 1 時間毎)を用いたが、この地域の観測値は地上雨量計に比べて過小であるため、地上雨量計の値をもとに補正を行った。

RRI モデルは Sayama et al.(2012)のもので、流域および河川を 2 次元格子で表現する分布型流出モデルと呼ばれるものであり、流量と氾濫量をそれぞれ求めることができる。RRI モデルによる流出計算は 7 月 27 日 0UTC $\sim$ 8 月 2 日 0UTC まで行った。

### 3. 結果

27日~29日の3日間の地上降水量の観測値、 27日00UTCを初期値とするGFS予報値、

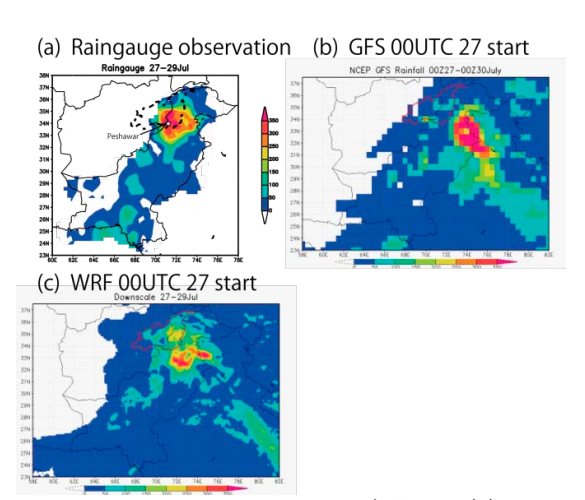
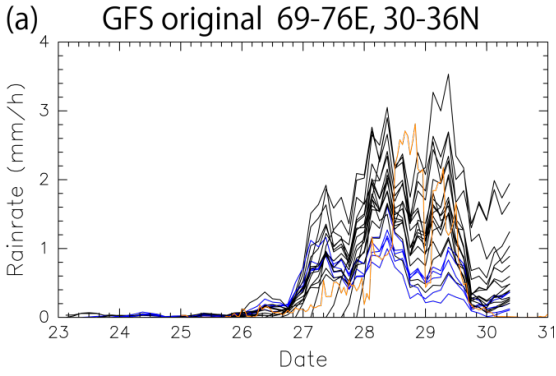


図 2:7月 27日~29日の地上降水量、(a)地上 雨量計、(b)GFS の予報値、(c)WRF によるダウ ンスケール予報値。

WRF によるダウンスケール予報値の一例を図2に示す。図2aの観測ではパキスタン北部アフガニスタン国境付近で、カブール川流域に最大350 mm以上(ピンク色)の降雨が観測された。一方図2bのGFS予報では、大量の雨が予報されているものの、雨域は東に偏り、カブール川流域には降っていない。図2cのダウンスケーリングの結果は、全体として雨域が西に移り、カブール川流域内でも降水が予報された。

次に、図3に図1の黒破線で示されたパキスタン北部領域(Webster et al., 2011 と同じ)の平均降水強度の時系列を示す。図3aのGFS予報値も、図3bのダウンスケール予報値も、それぞれ28日と29日にピークを持つ位相の合った変動をしており、オレンジ色で示した補正GSMaPと同程度の降水強度を示したものが多かった(それぞれ16本の黒線)。一方青線で示した時系列は、補正GSMaPと比べて積算雨量が85%に満たなかった予報ランで、それぞれ5個ずつあった。以上のことから、パキスタン北部領域の平均雨量変動については、GFS・ダウンスケール予報ともに、予報できていたものが多かったと言える。

続いて図4に、カブール川流域の平均降水量の時系列を示す。図3のパキスタン北部領域平均とは異なり、予報値のばらつきが大きいことがわかる。図4aのGFS予報値では、21予報ラン中6個が予報成功基準(積算雨量が補正GSMaPの85%)を超えたが、残り



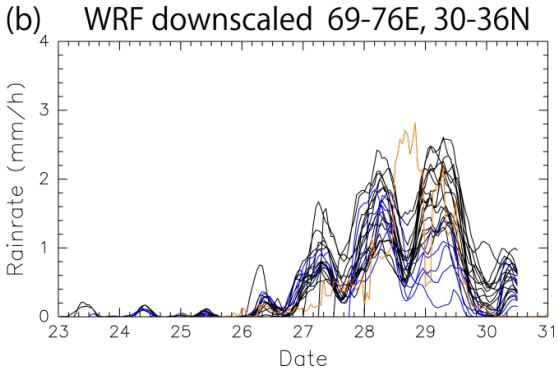
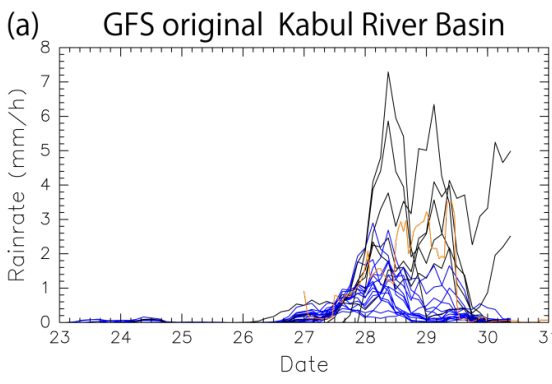


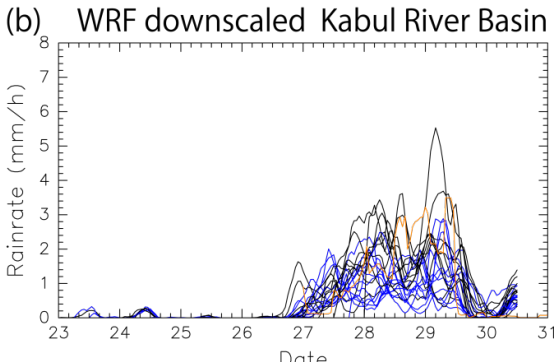
図3:パキスタン北部領域の平均降水強度の時系列。(a)GFS 予報値、(b)ダウンスケール予報値。黒線は予報成功基準を越えるもの、青線は基準を下回ったもの。オレンジ線は補正GSMaPによるもの。

の 15 個は基準を下回った(青線)。また、基準を上回った予報ラン(黒線)も、補正 GSMaP に比べて過大の値を示した。

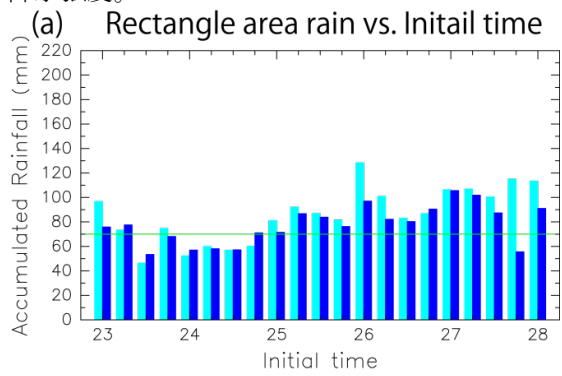
それに対して、図 4b のダウンスケール予報では、21 予報ラン中 10 個が基準を上回った。また、GFS では過大を示していた予報値も補正 GSMaP に近いものに修正された。これらのことから、ダウンスケーリングによって予報精度が向上したことがわかる。また、図3のパキスタン北部領域の平均では観測に近い値を予報できていたのに、図4のカブール川流域平均では過小の予報となったものが多かった。これらは、雨域を予報していたものの、位置が観測とずれていたものと考えられる。

これらの予報結果から、豪雨が降った3日間の積算雨量と初期時刻との関係をまとめたものを図5に示す。図5abともに予報初期時刻が降水時刻に近づくにつれて、予報雨量が増加し、予報精度が向上していた。図5a





Date 図4:図3と同じ、ただしカブール川流域平均降水強度。



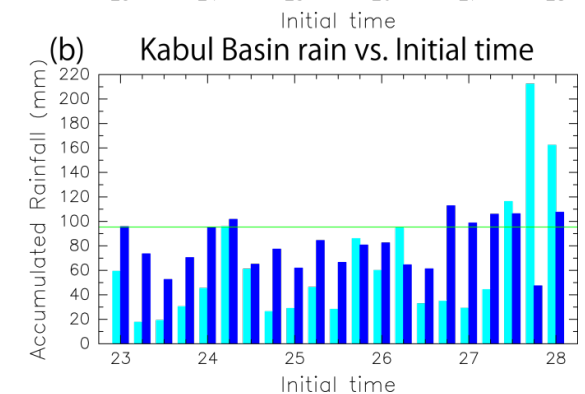


図 5:27 日~29 日の積算雨量と予報初期時刻との関係。(a)パキスタン北部領域平均、(b)カブール川流域平均。水色が GFS、紺色がダウンスケール予報の結果である。

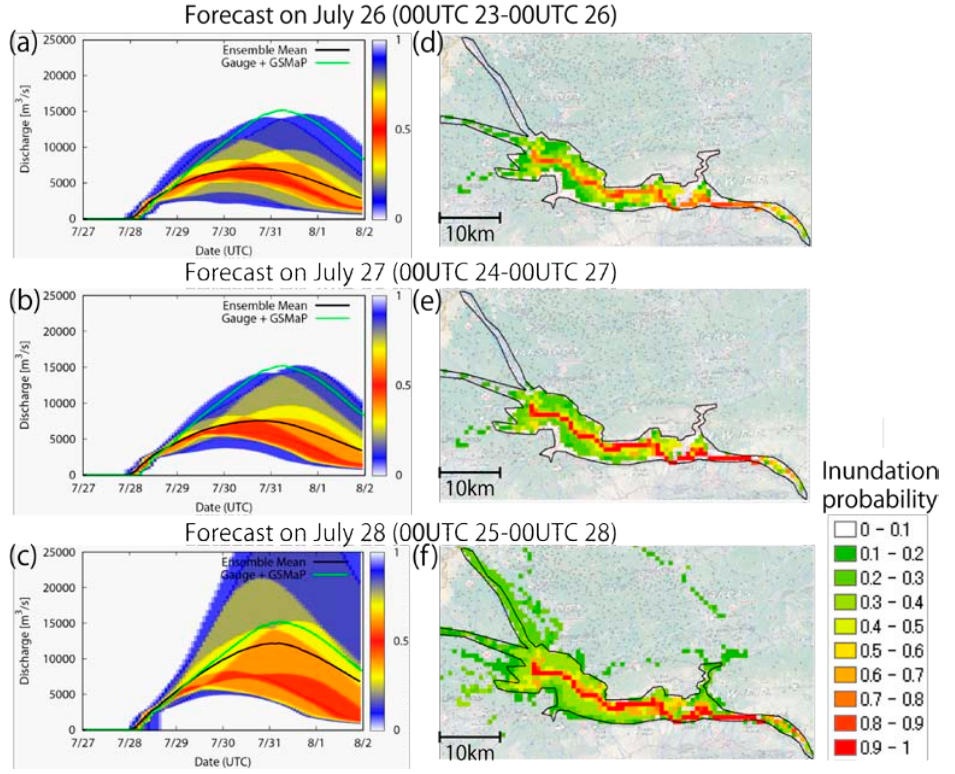


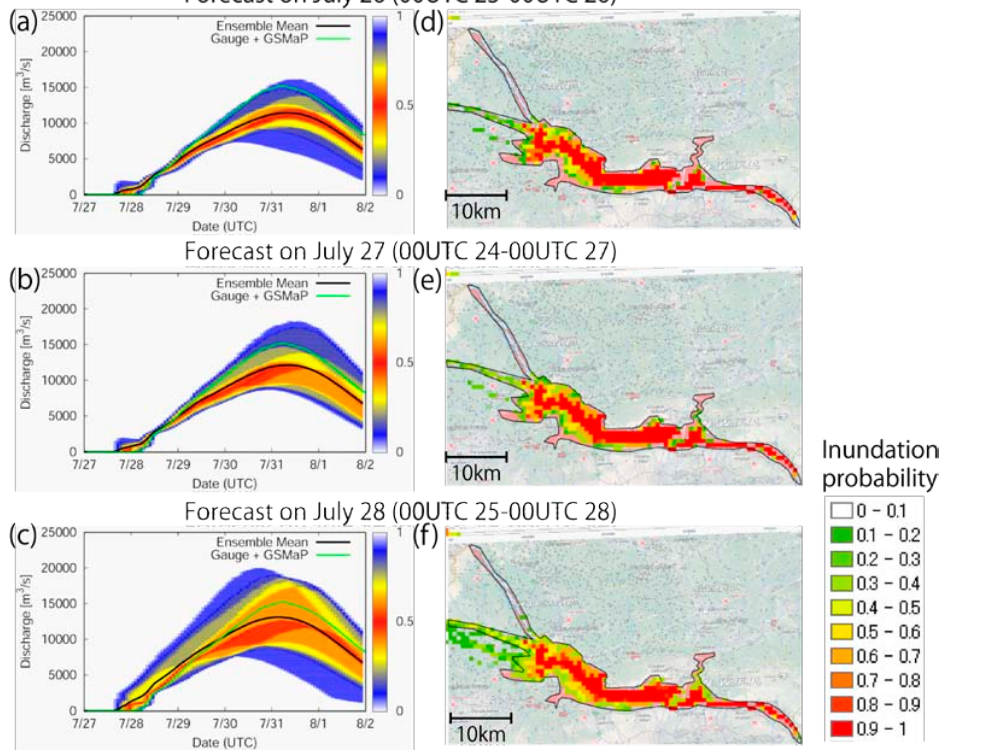
図 6: GFS 降水予測と RRI モデルを用いたタイムラグアンサンブルによるカブール川流域出口の流量予測の確率分布(a)~(c) と、洪水範囲の確率分布(d)~(f)。(a),(d):23日00UTC~26日00UTC までを初期値とする予報ランのアンサンブル、(b),(e):24日00UTC~27日00UTC を初期値とするランのアンサンブル、(c),(f):25日00UTC~28日00UTC を初期値とするアンサンブル。(a)~(c)の黒線はアンサンブル平均、緑線は補正 GSMaP による結果を表わす。(d)~(f)の黒線枠は、MODIS 衛星観測による8月1日の洪水範囲である。

のパキスタン北部領域平均では、GFS とダウンスケール予報との差は小さいが、図 5b のカブール川流域平均では差は大きく、ダウンスケーリングによる精度向上の効果が見て取れる。また、予報精度は周期的に変化していて、23 日 00UTC、24 日 00~06UTC、26 日 00UTC 付近で高くなっていた。ダウンスケール予報では 26 日 18UTC 以降はほぼ安定して高精度の予報ができていたが、GFS の場合は予報が安定して基準を越えるようになったのは 27 日 12UTC の降雨開始後だった。

次に GFS 降水予報と RRI モデルによるカブール川の流量予測と、ペシャワール盆地の洪水予測結果を図 6 に示す。それぞれ 13 個の予報を用いたタイムラグアンサンブルである。26 日または 27 日までの予報値を用いた図 6ab は、流量予測の確率分布は辛うじて

観測をカバーしているものの、確率は小さく、アンサンブル平均は過小評価していた。一方28日までの予報値を用いた図6cは、アンサンブル平均は観測値に近づいたが、確率分布の広がりが大きく、依然として予報精度は低い。図6d~fの洪水範囲予測は、確率は低いものの、観測された洪水範囲を予測していた。

続いて、図7にダウンスケール降水予報を用いたアンサンブル流量予測および洪水予測結果を示す。図7a~cの流出予測は、確率分布の幅が小さくなり、予報精度が向上している。また、アンサンブル平均は図6のGFS予測を用いたものに比べて観測値に近づいてり、さらに新しい予報ほど観測値に近づいている。また、図7d~fの洪水範囲も予報確率が向上し、MODIS衛星の観測値に近い分布となった。しかし、北西に延びる支流沿いの洪水は予測できなかった。これは、この支流



Forecast on July 26 (00UTC 23-00UTC 26)

図 7: 図 6 と同じ、ただしダウンスケール降水予測と RRI モデルを用いたタイムラグアンサンブルによるカブール川流域出口の流量予測の確率分布と洪水範囲の確率分布。

に対応する流域の降雨をうまく予報できなかったためと考えられる。

ウンスケールした予報降水量が有効であった.

## 4. まとめ

NCEP GFS およびそれをダウンスケール した降水予報を RRI モデルに導入し、2010 年夏のカブール川流域の洪水予測実験を行 った。Webster et al., (2011)で定義されたパ キスタン北部領域(600km 平方以上)に対す る平均予報降水量は、GFS もダウンスケール 予報も、降雨開始4日前の23日に予報でき ていた。しかし、カブール川流域平均降水量 は、ダウンスケールしなければ降雨開始以前 に予報することはできなかった。降雨開始前 を初期値とする GFS は、予報雨域の位置が ずれていた。GFS の予報降水量を用いた洪水 予測は、補正 GSMaP を与えた場合よりも流 量と氾濫域を過小評価した。一方ダウンスケ ールした予報降水量を用いた場合、流量や氾 濫域を精度よく予報することができた。カブ ール川流域程度の大きさの流域の洪水予測 を行うためには、GFS そのままではなく、ダ

## 謝辞

数値予報は、米国 NCEP 提供の GFS を用いた。ダウンスケーリングには領域モデルWRF を用いた。図の作成には地球流体電脳ライブラリ、GrADS を用いた。

#### 参考文献

Cloke, H. L. and F. Pappenberger, 2009: Ensemble flood forecasting: A review. *J. Hydrol.* **375**, 613-626.

Hong, C.-C., H.-H. Hsu, N.-H. Lin, and Hsun Chiu, 2011: Roles of European blocking and tropical- extratropical interaction in the 2010 Pakistan flooding. *Geophys. Res. Lett.* 38, L13806, doi:10.1029/2011GL 047583, 2011.

Lau, W. K. M. and K.-M. Kim, 2012: The 2010 Pakistan flood and Russian heat wave: teleconnection of hydrometeorologic

- extremes. J. Hydrometeorol. 13, 392-403. Matsueda, M., 2011: Predictability of Euro-Russian blocking in summer of 2010. Geophys. Res. Lett. 38, L06801, 6 PP., 2011 doi:10.1029/2010GL046557.
- Okamoto, K. et al., 2005: The global satellite mapping of precipitation (GSMaP) project. 25th IGARSS Proceedings, 3414-3416.
- Sayama, T., G. Ozawa, T. Kawakami, S. Nabesaka, and K. Fukami, 2012: Rainfall-runoff- inundation analysis of the 2010 Pakistan flood in the Kabul River basin. *Hydrol. Sci. J.* **57**, 298-312.
- Webster, P. J., V. E. Toma, and H.-M. Kim, 2011: Were the 2010 Pakistan floods predictable? *Geophys. Res. Lett.* **38**, L04806, doi:10.1029/2010GL046346, 2011.